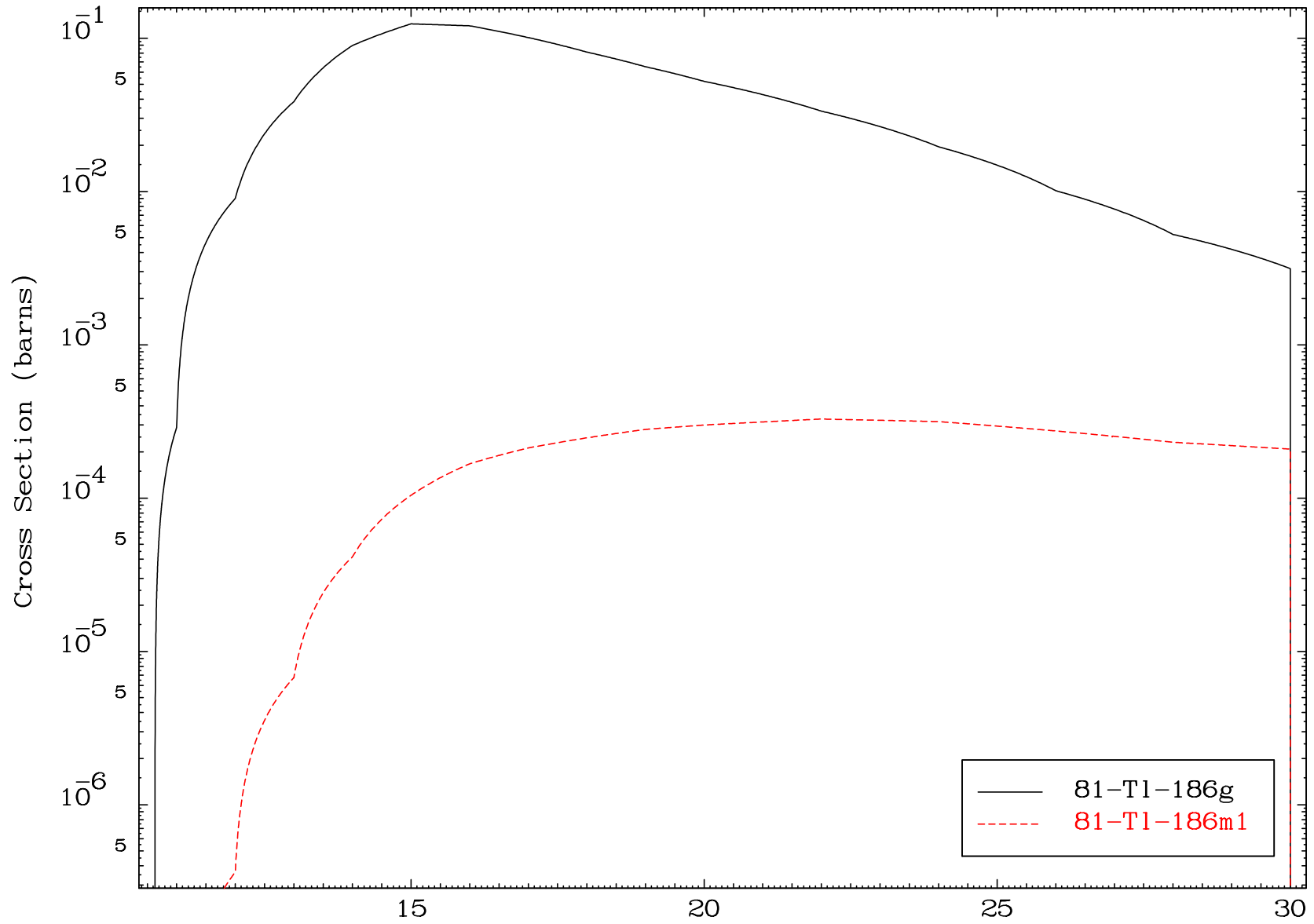


MAT 8077

Photon Inelastic
Radionuclide Production Cross Section

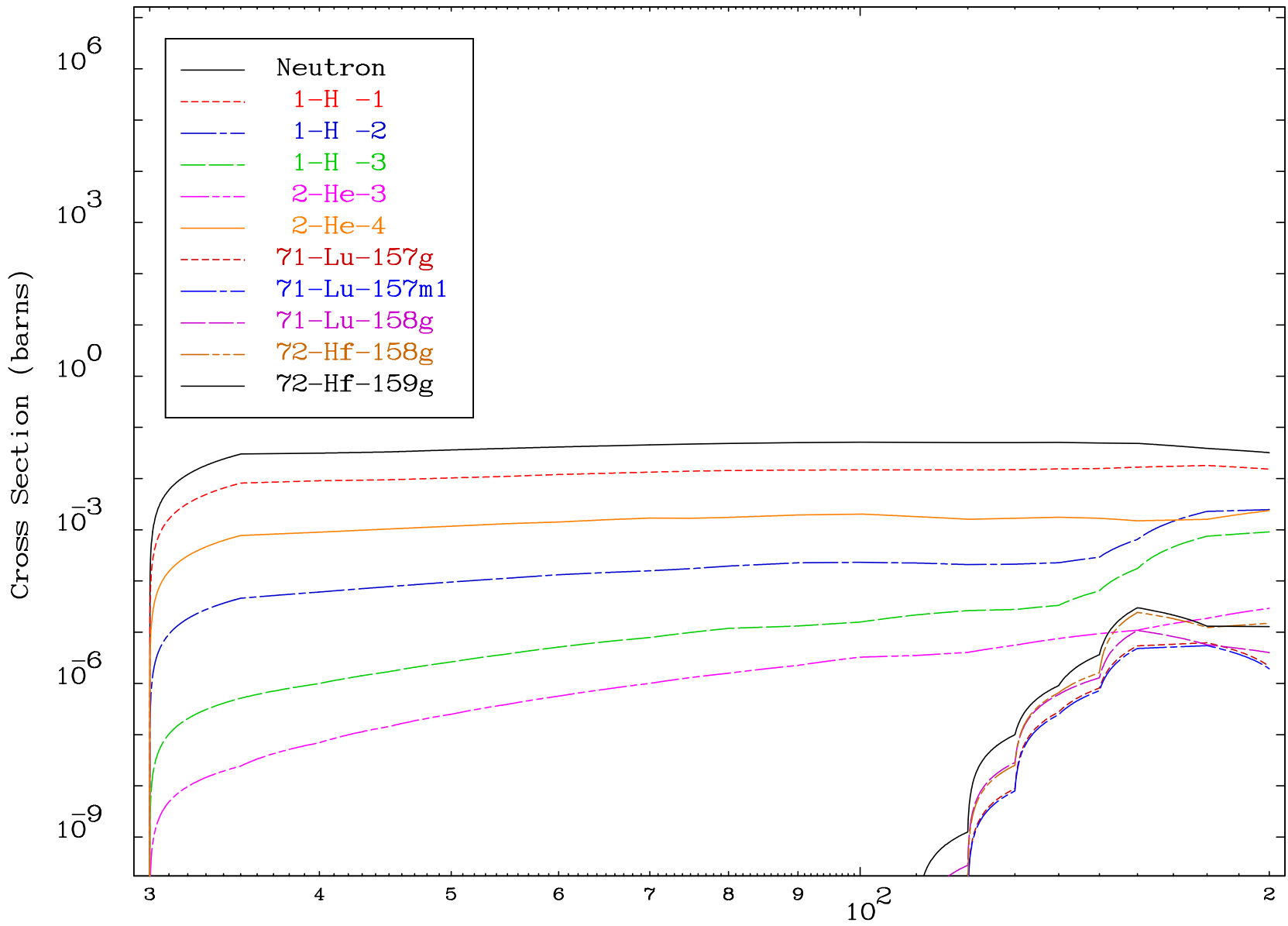
81-Tl-187



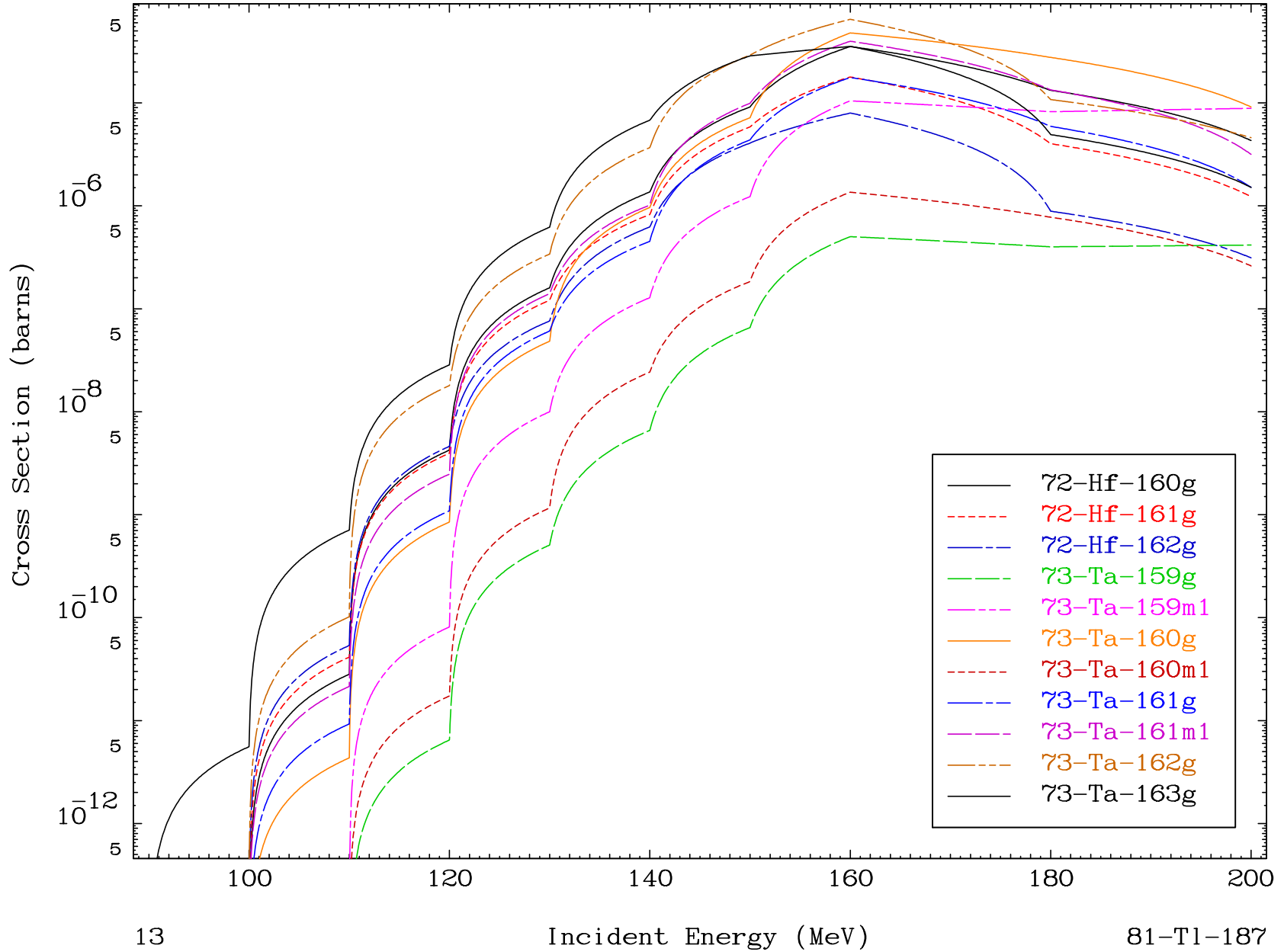
11

Incident Energy (MeV)

81-Tl-187



Radionuclide Production Cross Section

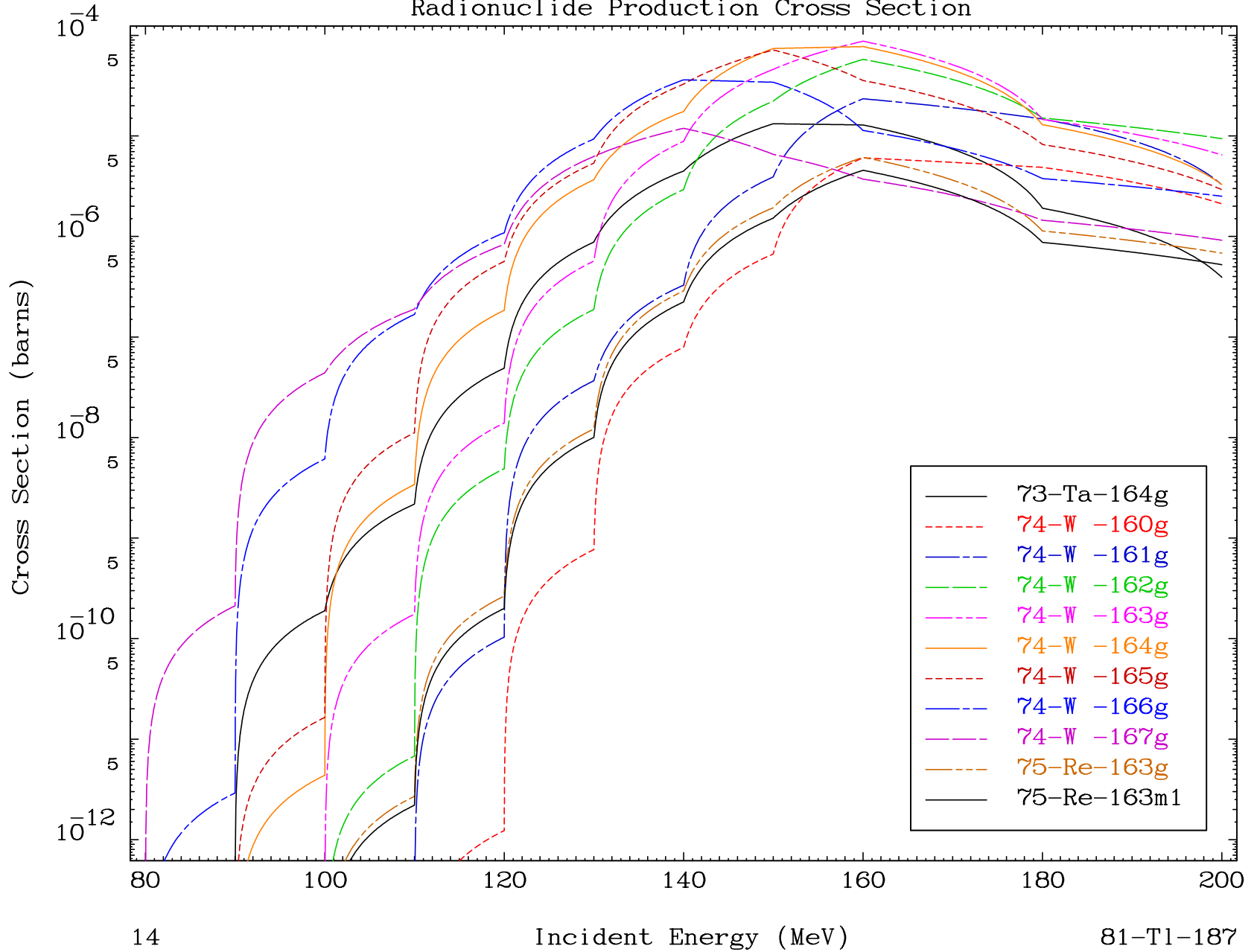


MAT 8077

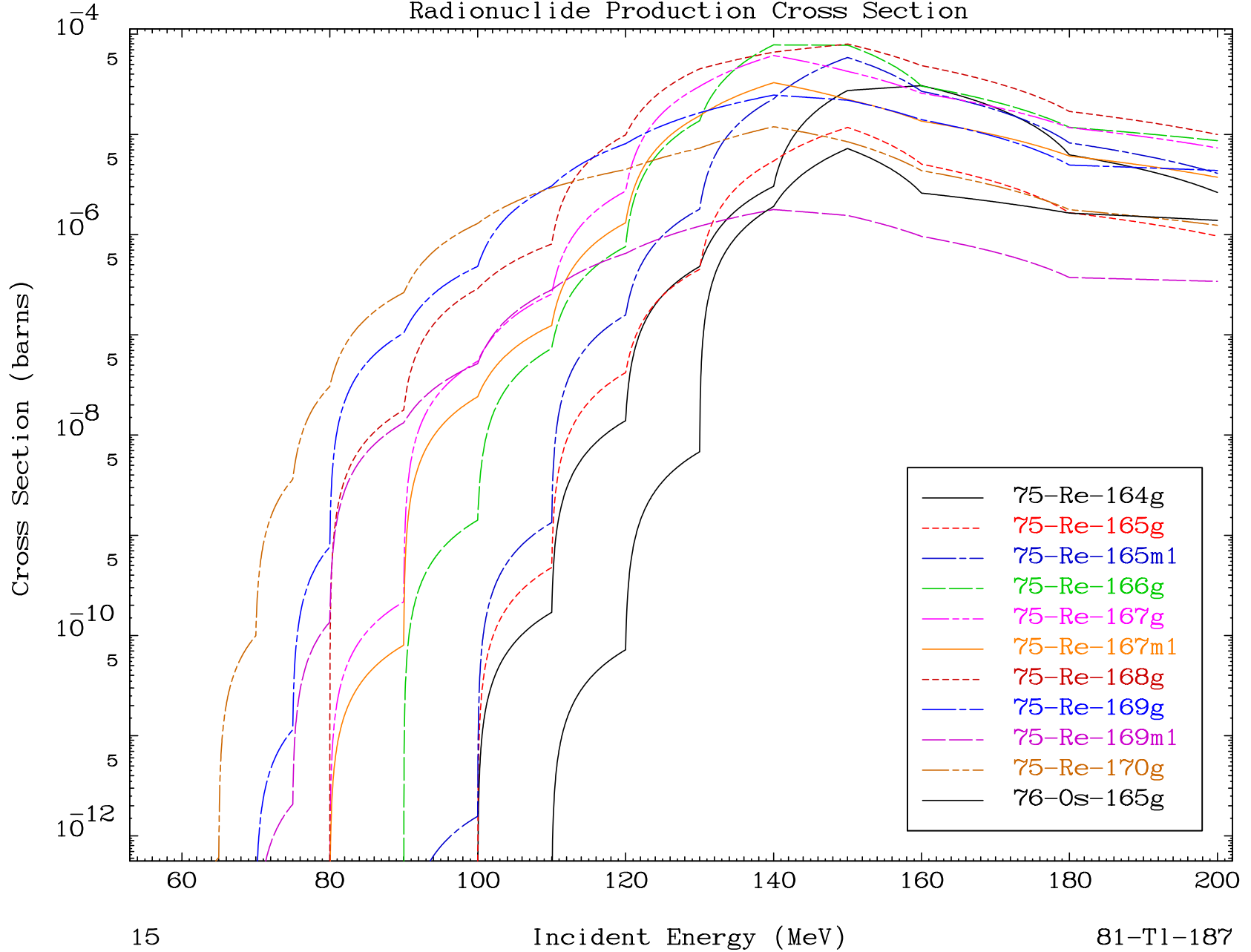
(γ , remainder)

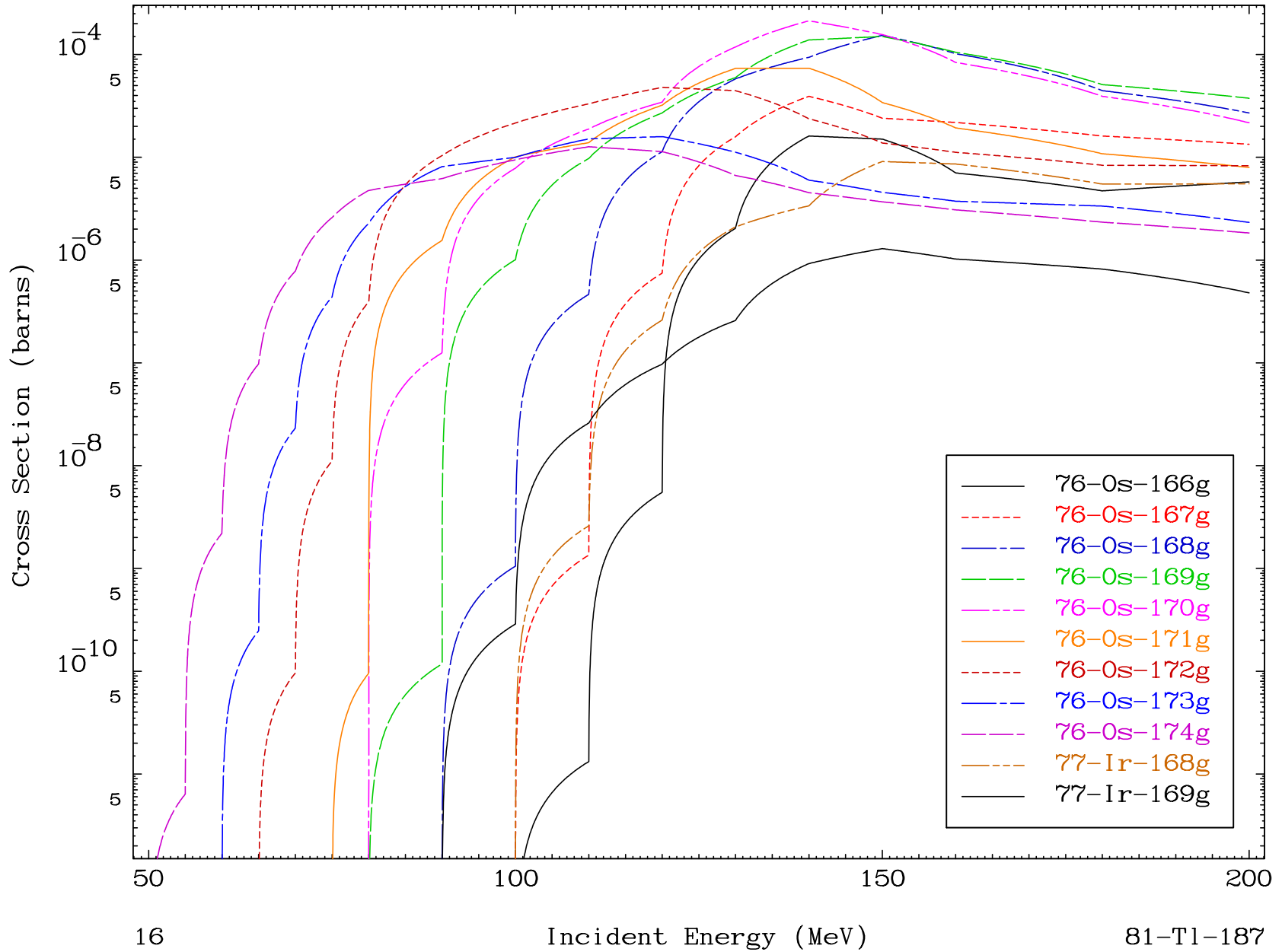
81-T1-187

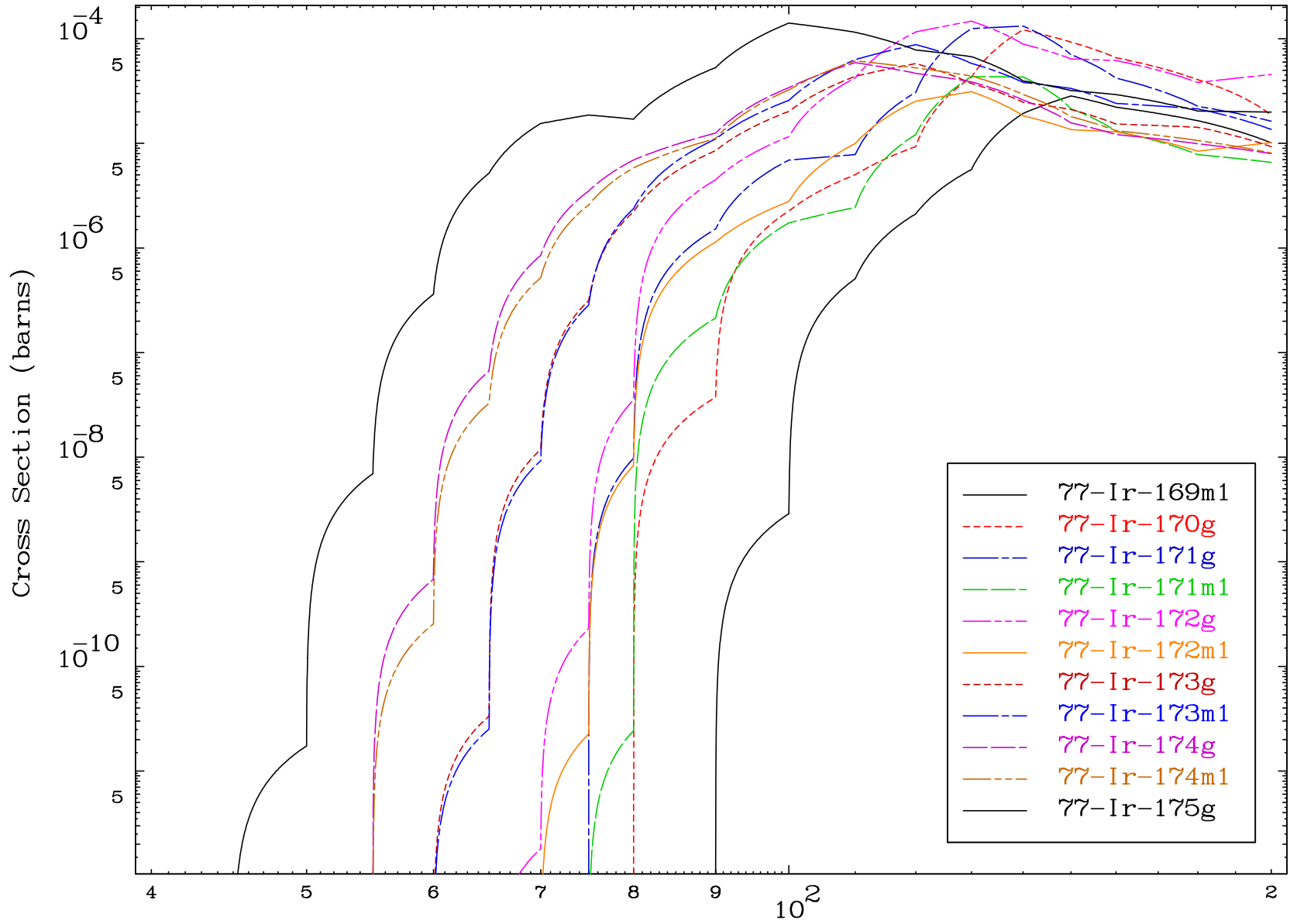
Radionuclide Production Cross Section

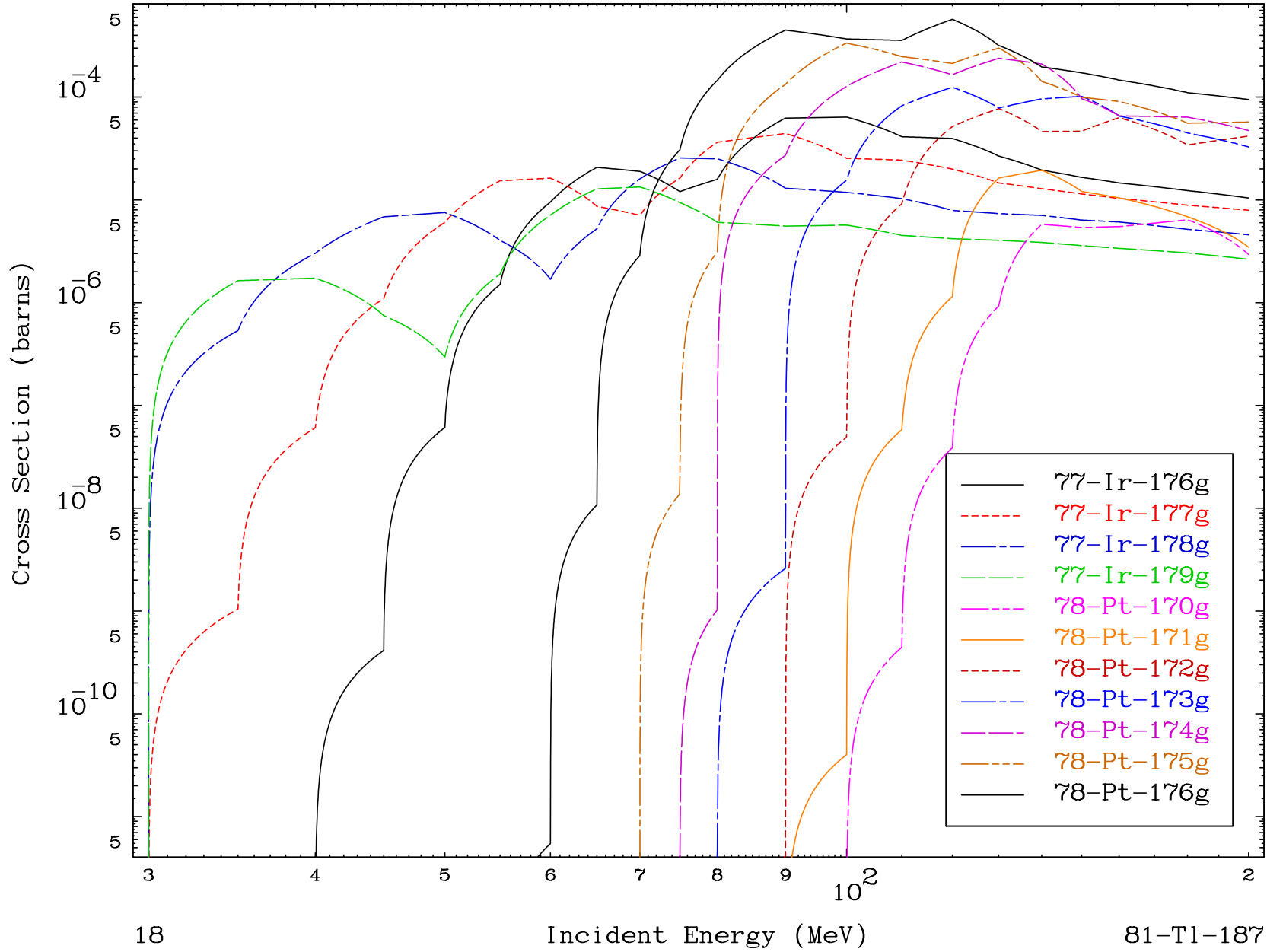


Radionuclide Production Cross Section







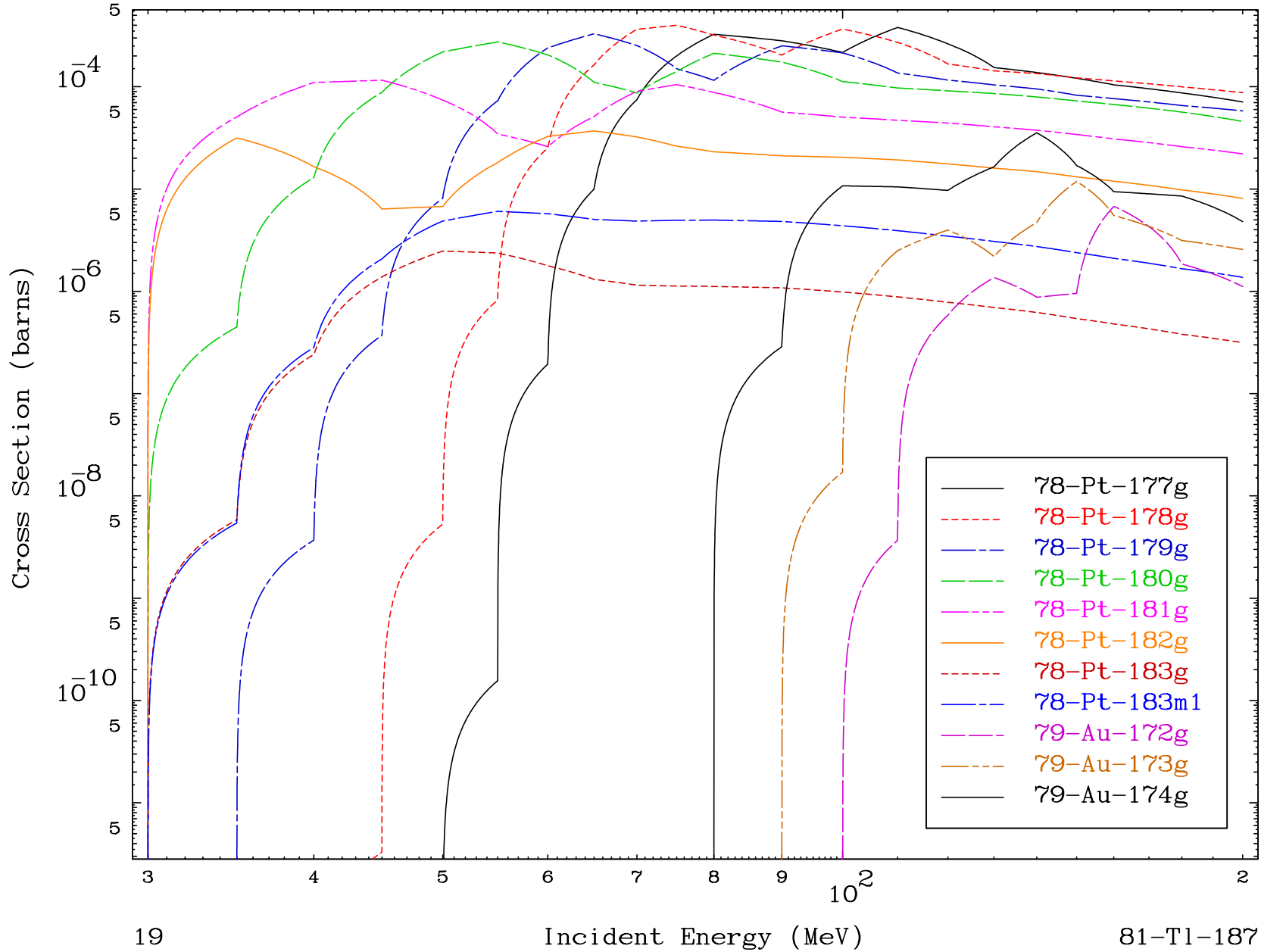


MAT 8077

(γ , remainder)

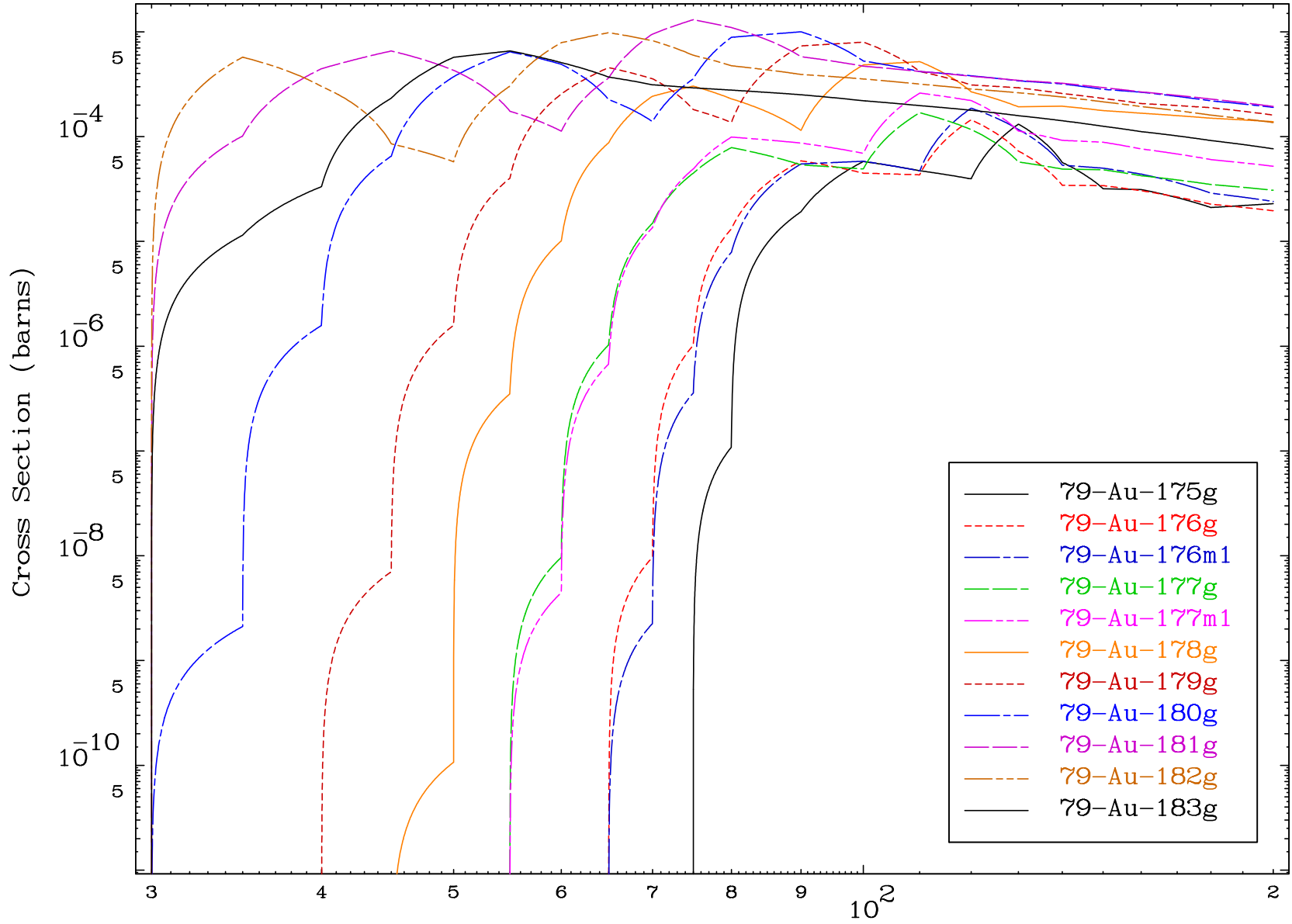
81-Tl-187

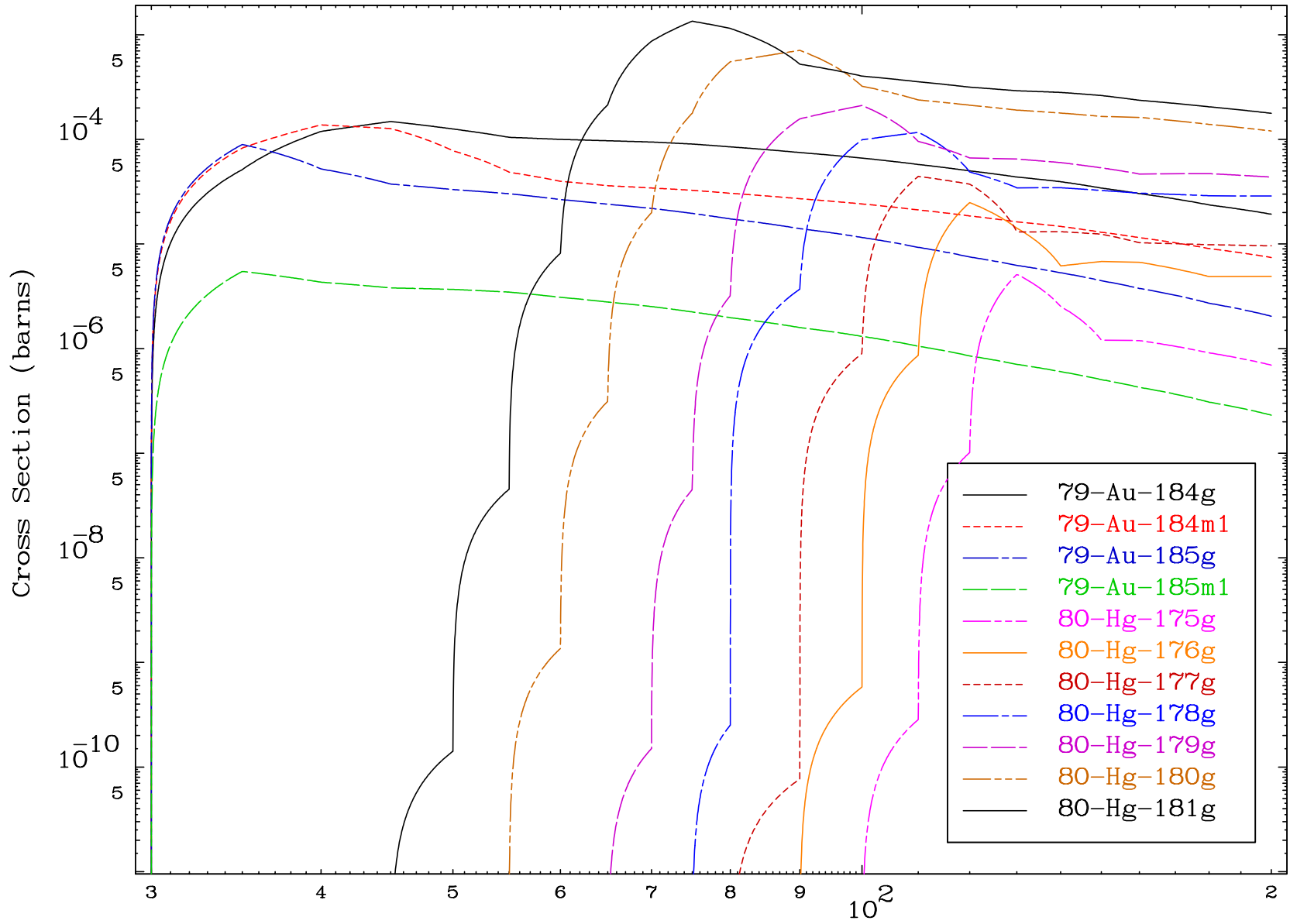
Radionuclide Production Cross Section



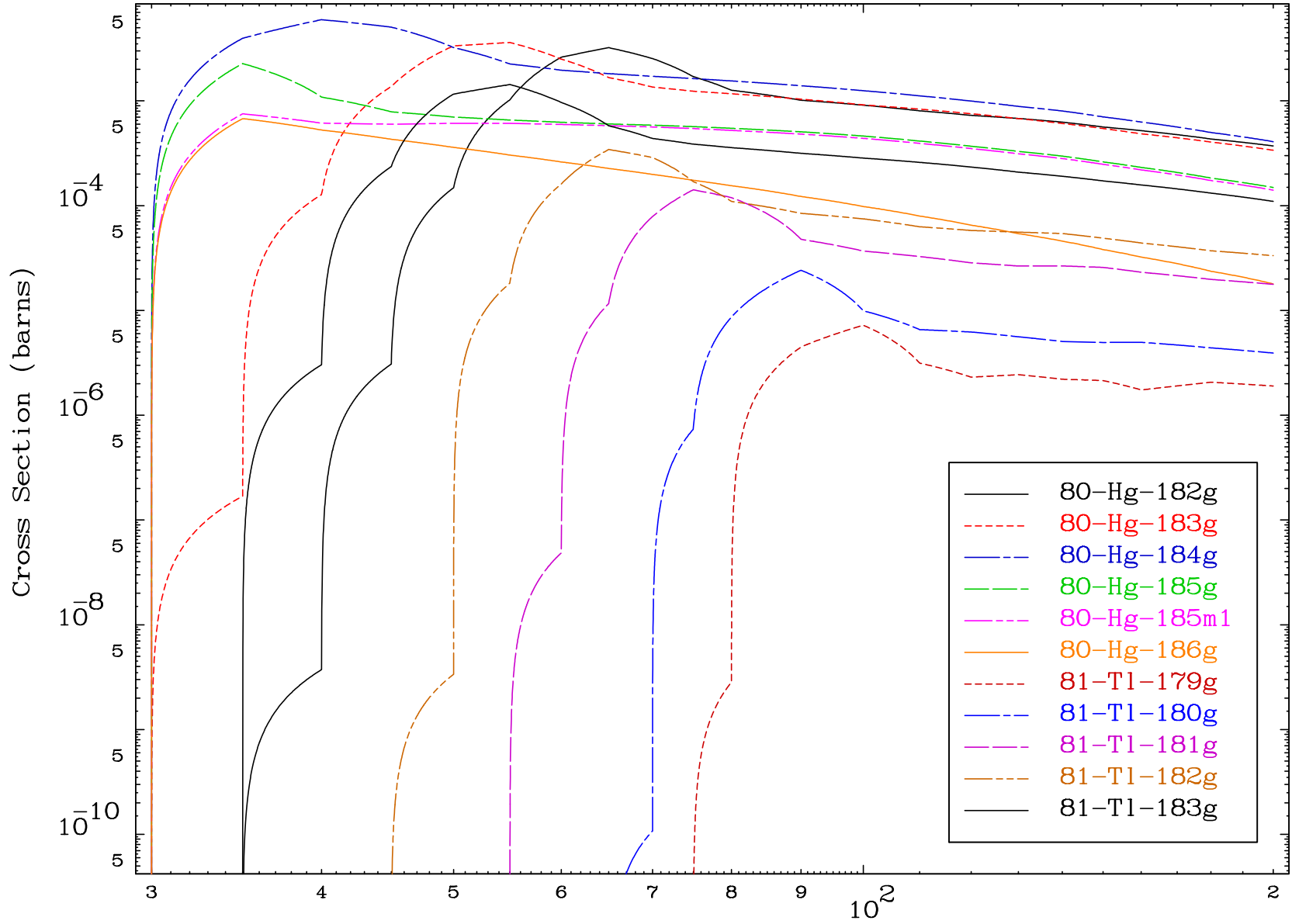
19

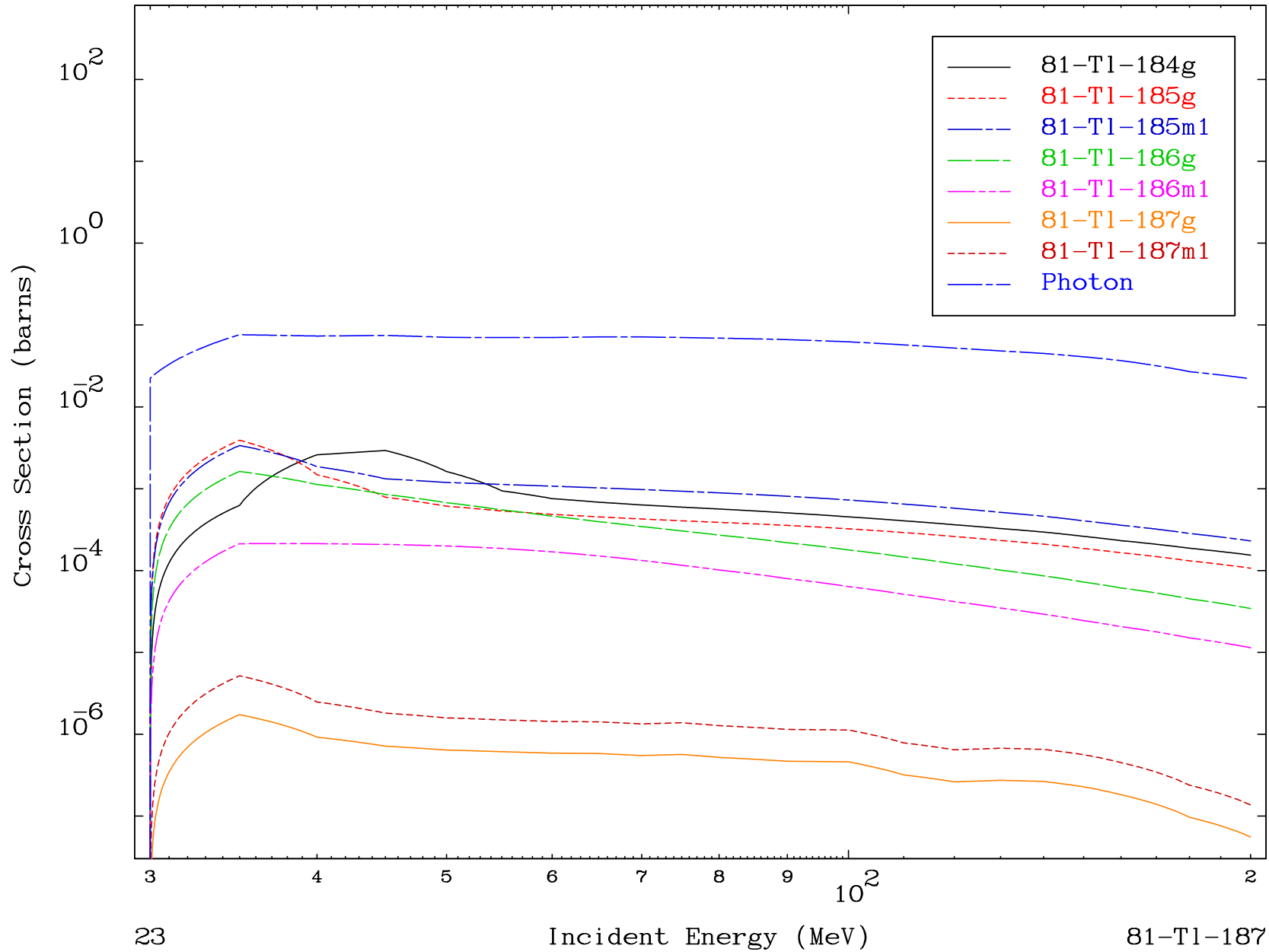
81-Tl-187





Radionuclide Production Cross Section



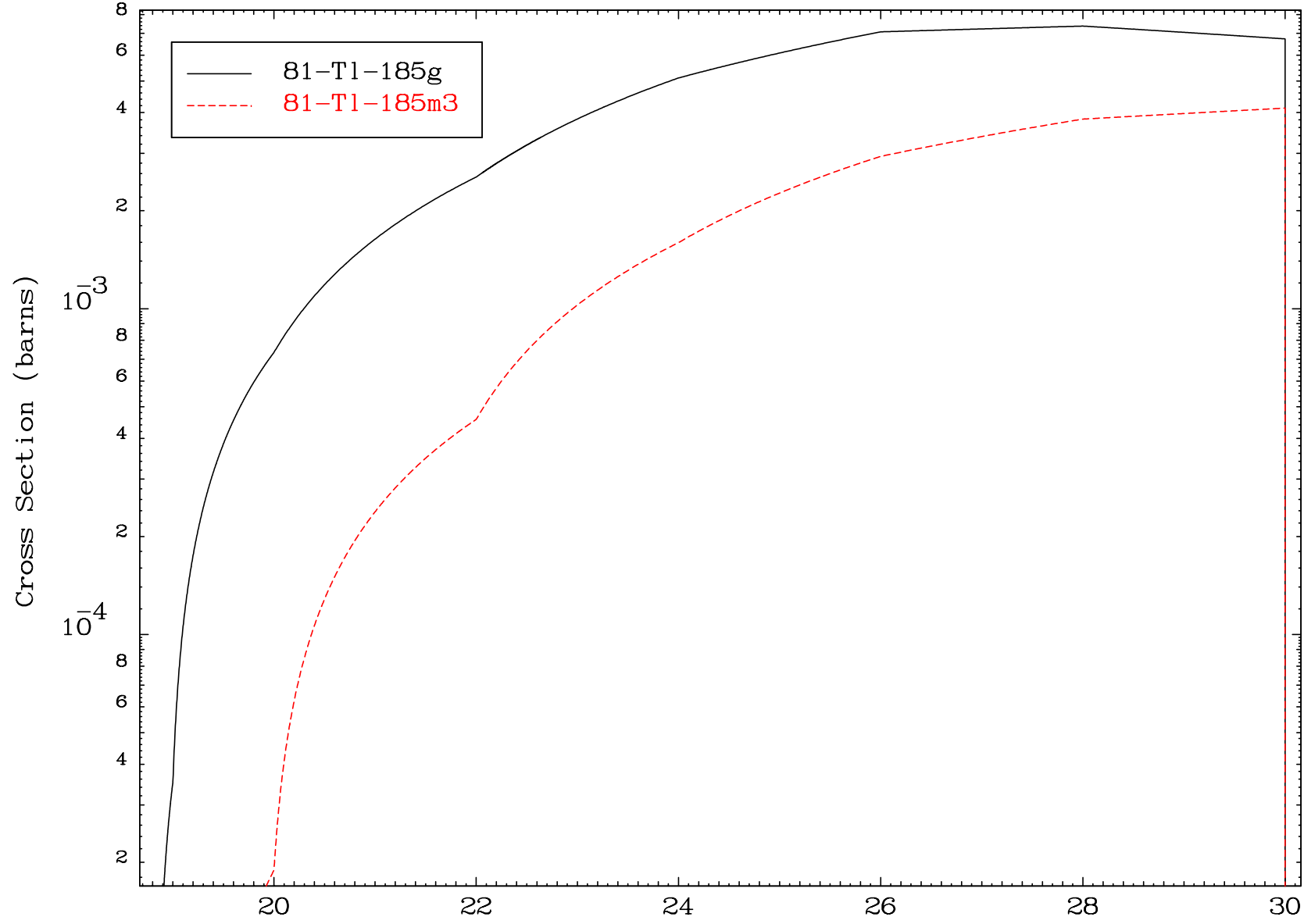


MAT 8077

($\gamma, 2n$)

81-Tl-187

Radionuclide Production Cross Section



24

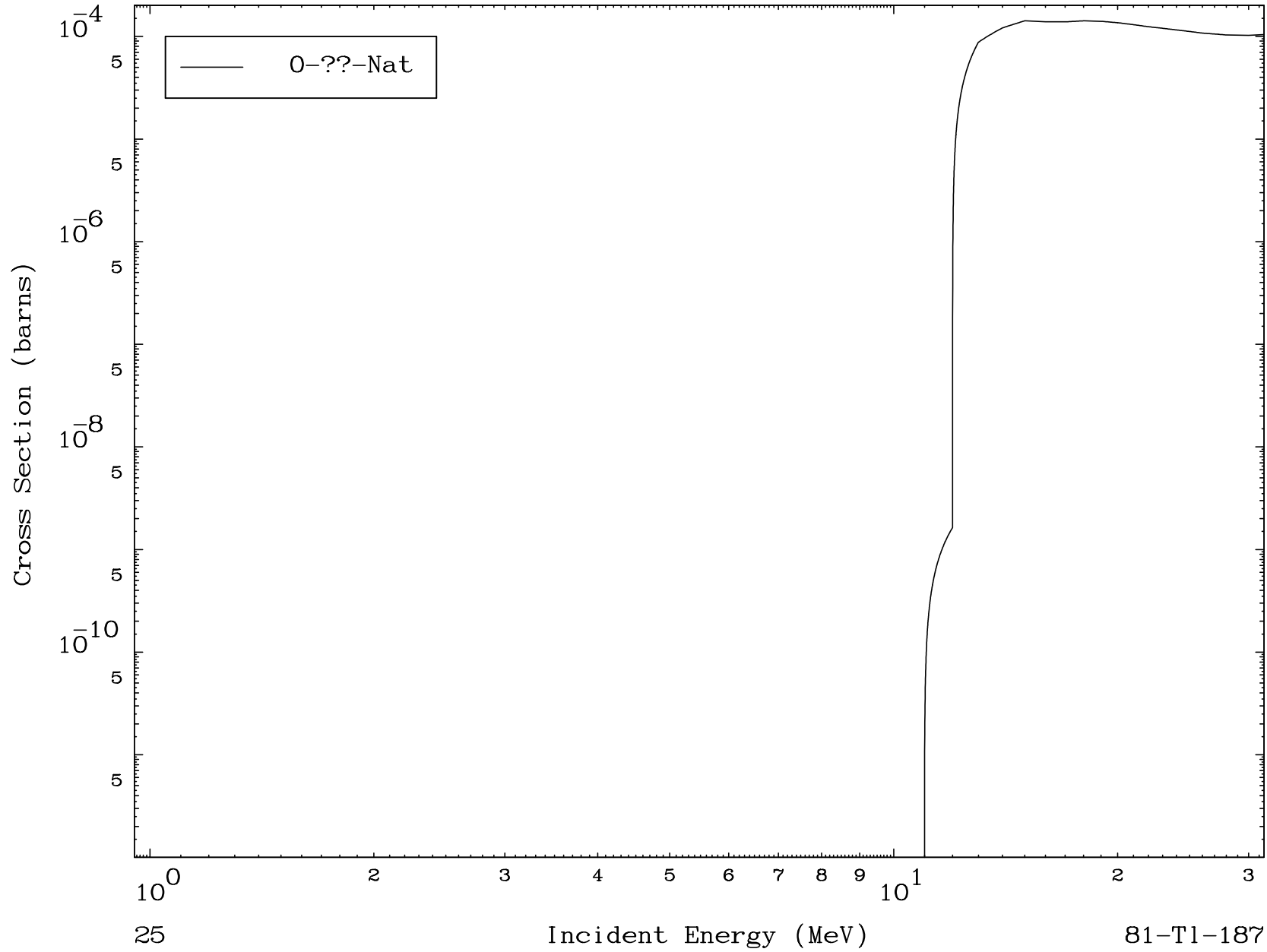
Incident Energy (MeV)

81-Tl-187

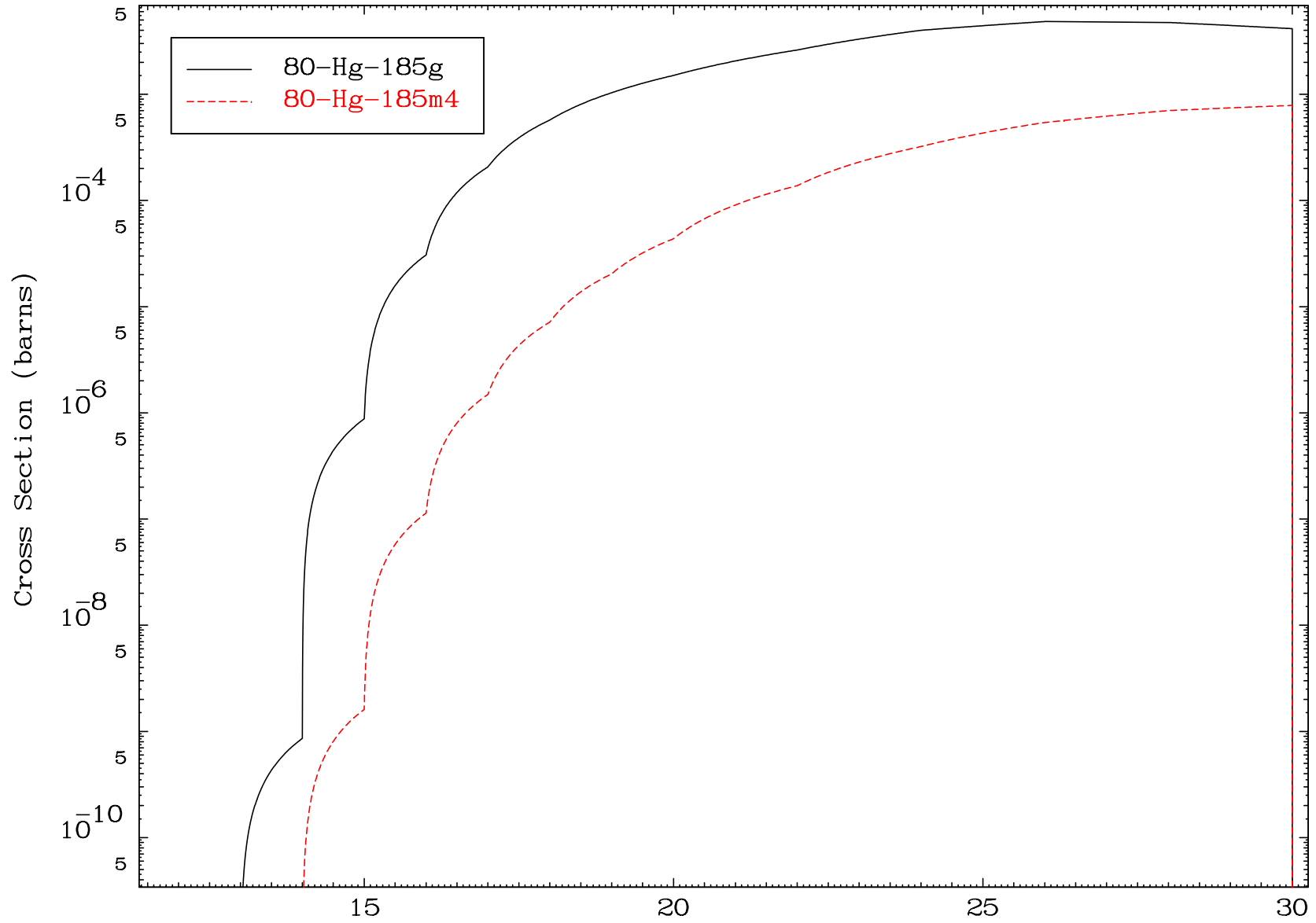
MAT 8077

Photon Fission
Radionuclide Production Cross Section

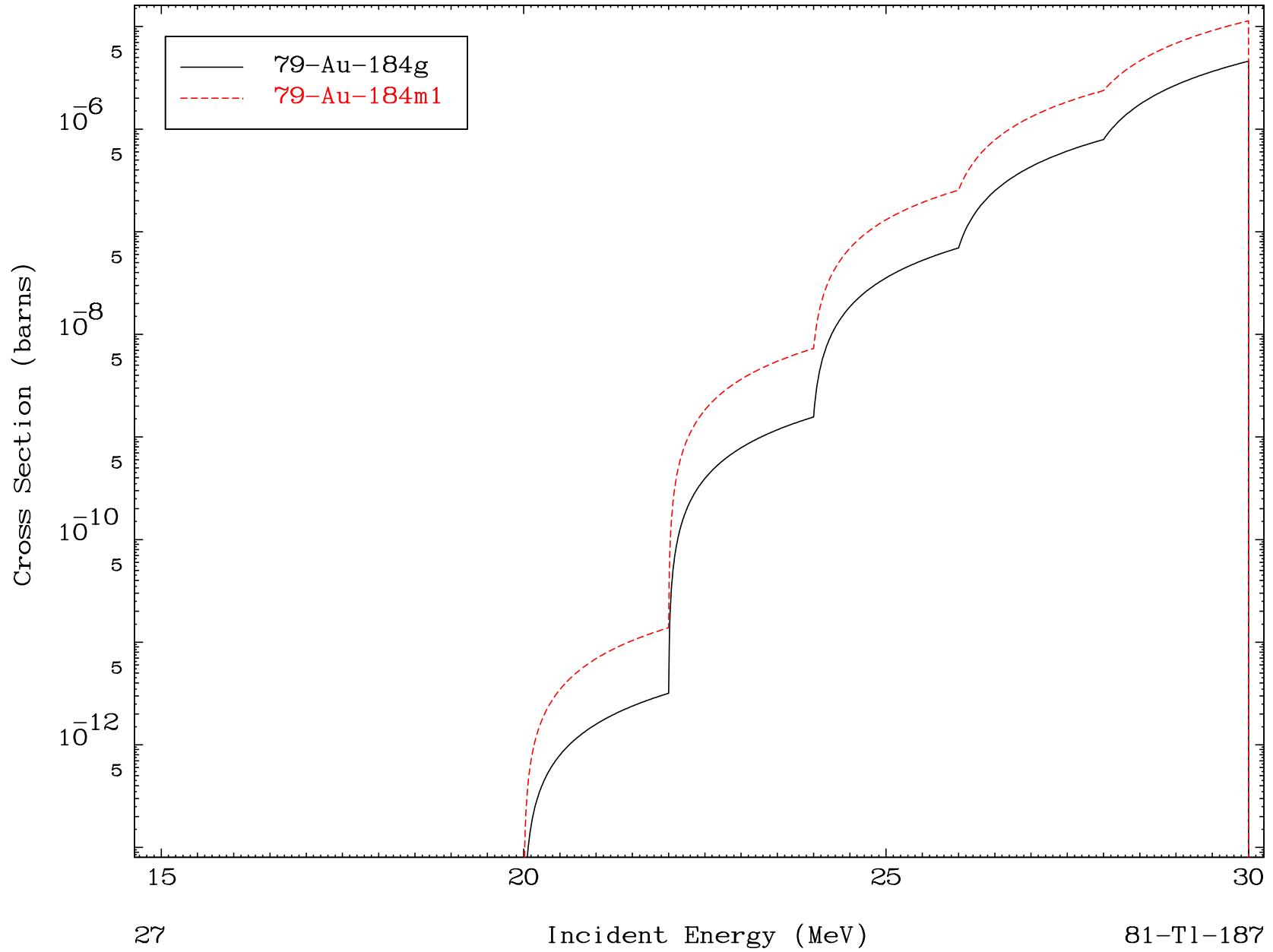
81-Tl-187



Radionuclide Production Cross Section



Radionuclide Production Cross Section

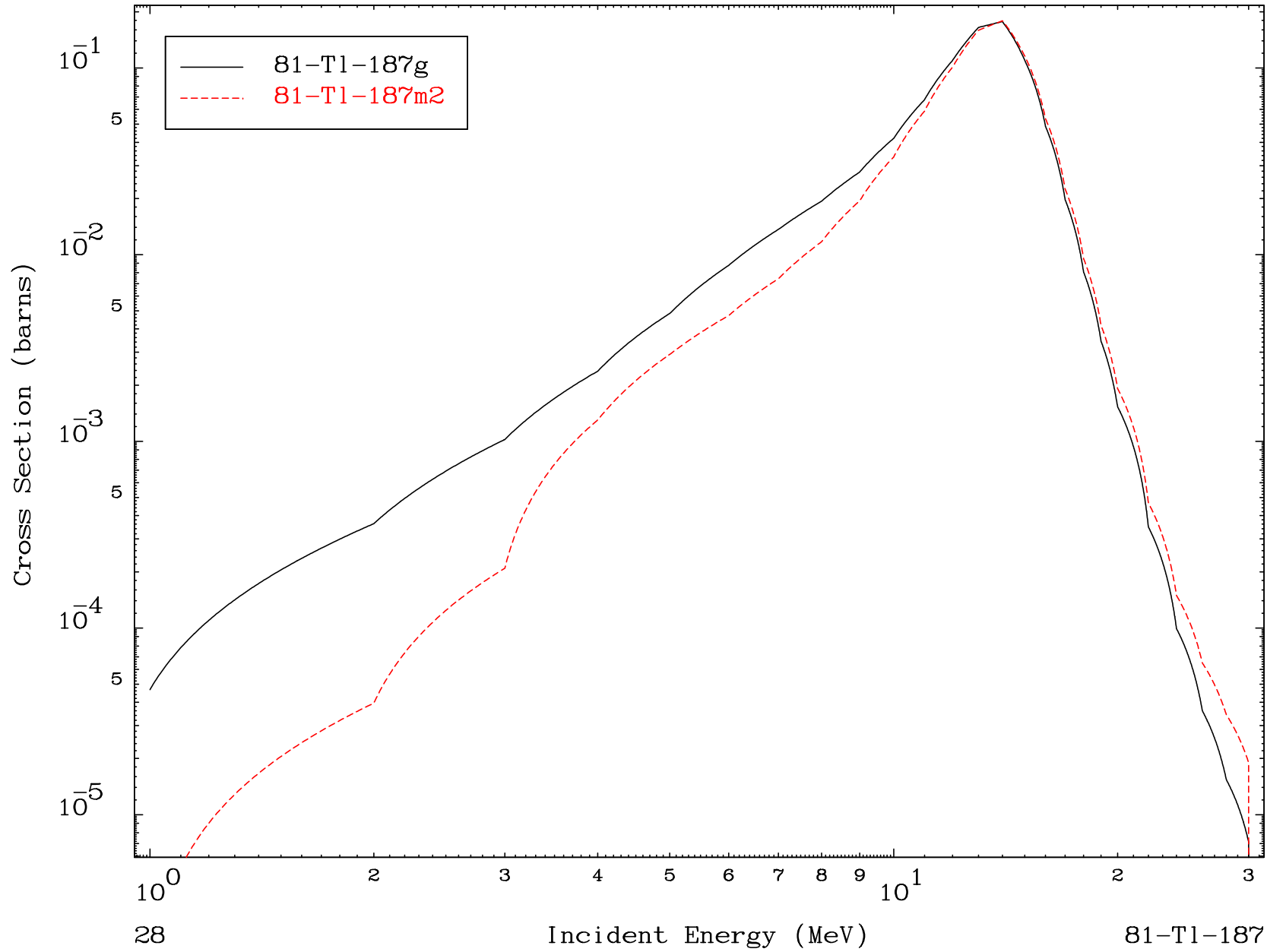


MAT 8077

(γ, γ)

81-Tl-187

Radionuclide Production Cross Section

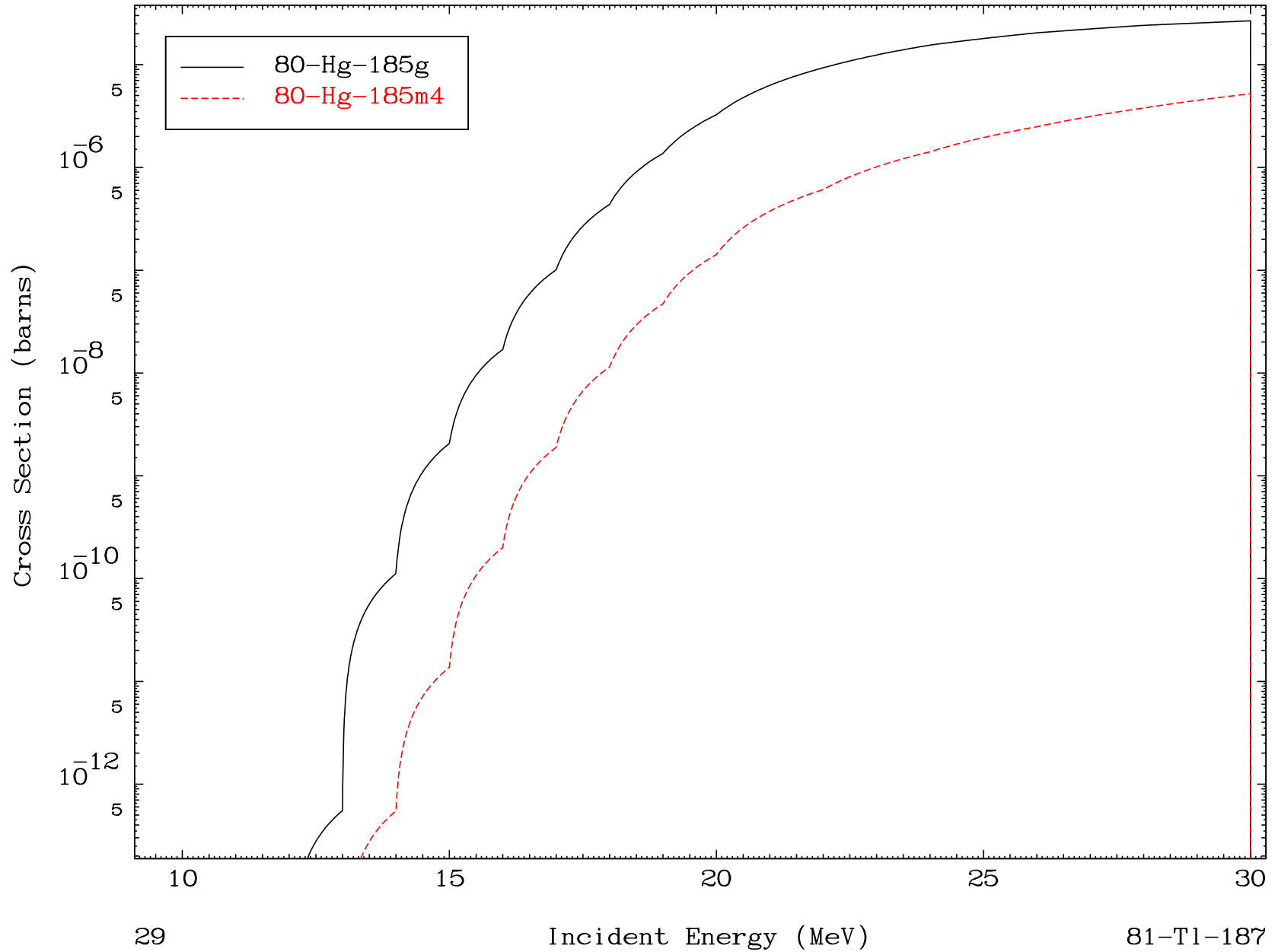


MAT 8077

(γ, d)

81-T1-187

Radionuclide Production Cross Section

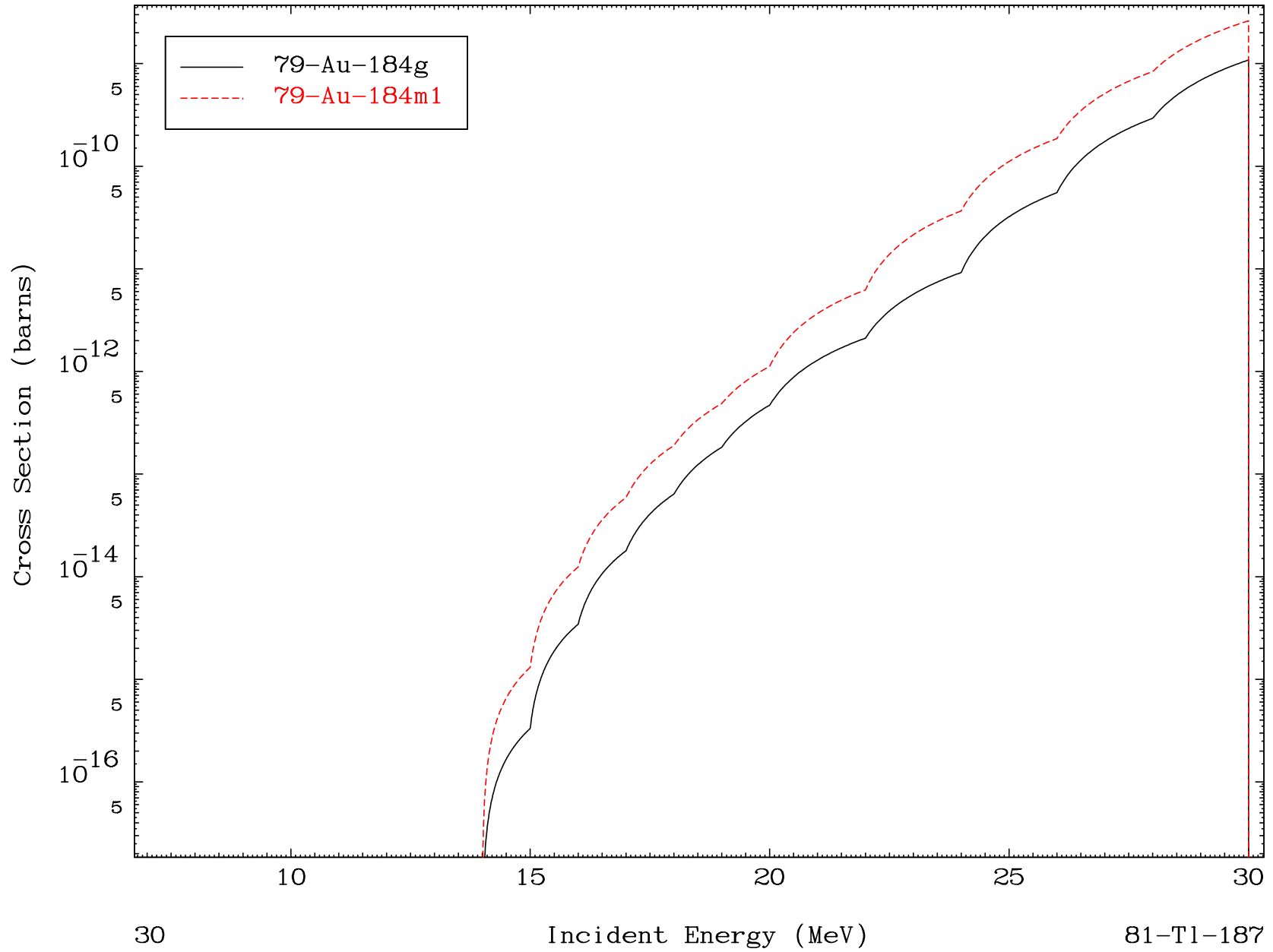


MAT 8077

($\gamma, \text{He-3}$)

81-T1-187

Radionuclide Production Cross Section



30

Incident Energy (MeV)

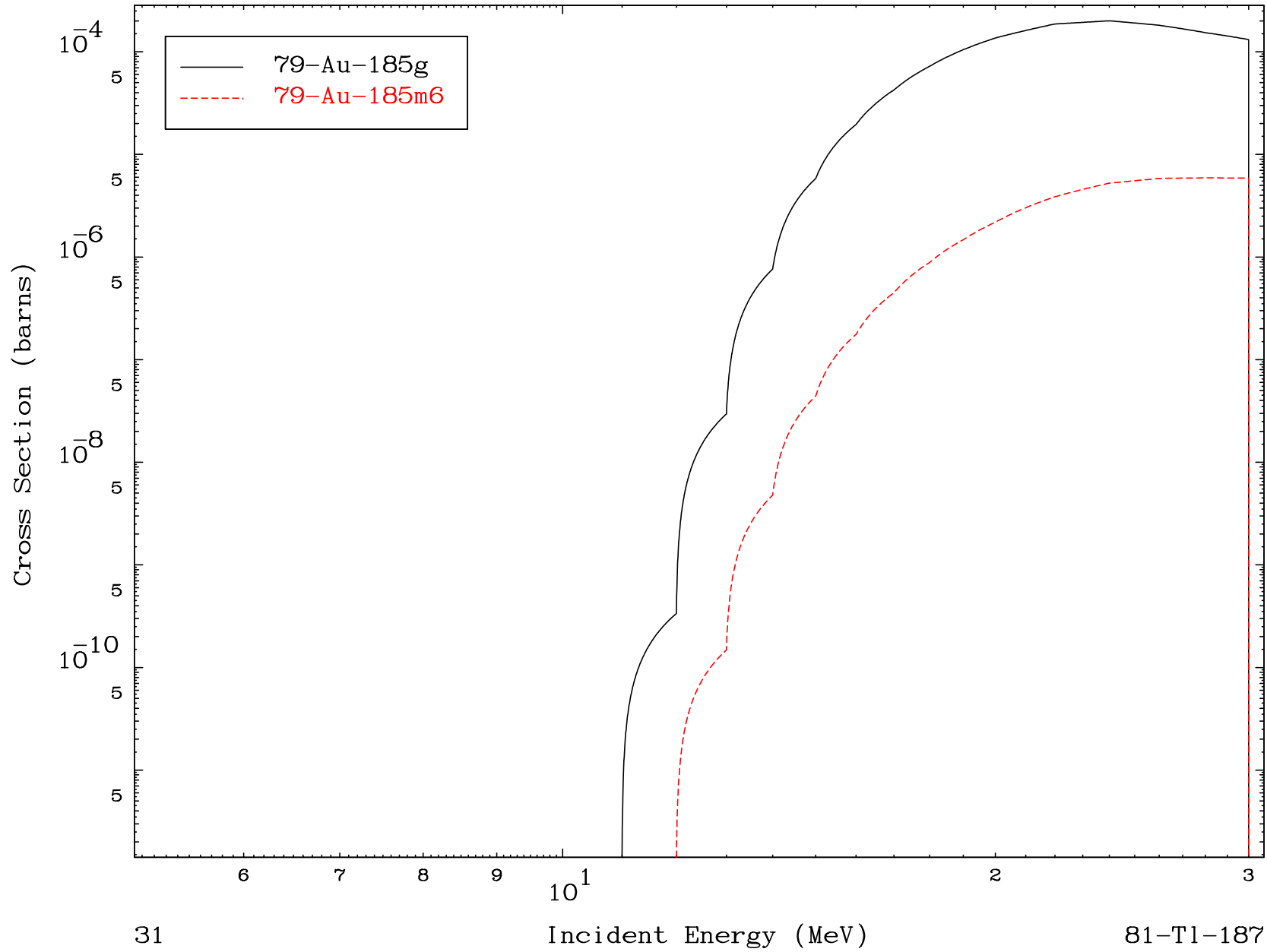
81-T1-187

MAT 8077

($\gamma, 2p$)

81-T1-187

Radionuclide Production Cross Section



MAT 8077

(γ, p) d

81-T1-187

Radionuclide Production Cross Section

